

روزانه ضریب خاموشی^۱ پوشش گیاهی، یا تعمیم مقادیر لحظه‌ای ضریب خاموشی پوشش گیاهی به کل ساعت روشنایی روز یا حتی تمام فصل رشد و ۳- تعمیم مقادیر لحظه‌ای بازتابندگی پوشش گیاهی به کل ساعت روشنایی روز یا حتی تمام فصل رشد، یا چشمپوشی کلی از تأثیر آن صفر گرفتن بازتابندگی پوشش گیاهی). در بسیاری از گزارش‌های پژوهشی مرتبط با برآورد کارایی مصرف تابش گونه‌های زراعی، شدت تابش فعال فوتوسنتزی جذب شده توسط گیاه با وجود همین ساده‌سازی‌ها برآورد گردیده است که در ادامه به‌چند نمونه از آنها اشاره شده است. اگر چه محاسبه شیب خط وایازش به میزان اندکی این خطاهای را کاهش می‌دهد، اما در پایش پویایی کارایی مصرف تابش محصول در بازه‌های زمانی کوتاه مدت، بدلیل ماهیت ریزمقیاس پایش، تکرار این اشتباها پایش را از خطای سامانمند بزرگی متأثر می‌کند که کاهش اعتمادپذیری نتایج را در پی خواهد داشت. ترکیبی از خطاهای برآورد فوق‌الذکر در پژوهش‌های مختلف وجود دارد. برای نمونه Liu et al., (2012) در ارزیابی کارایی مصرف تابش دو رقم ذرت در سه الگوی کشت متفاوت، با صفر گرفتن بازتابندگی پوشش ذرت، سنجش میزان جذب تابش فعال فوتوسنتزی روزانه را به ساعت ۱۰:۰۰ تا ۱۴:۰۰ محدود ساخته و با نتایج آن ضریب خاموشی پوشش ذرت را محاسبه کرده‌اند. Andrade et al., (1993) جذب تابش فعال فوتوسنتزی روزانه را تنها در ساعت ۱۱:۰۰ تا ۱۳:۰۰ به وقت محلی اندازه گرفته و از بازتابندگی پوشش ذرت چشمپوشی کرده‌اند. Greaves and Wang (2017) در ارزیابی اثر تنفس آبی بر میزان جذب نور و کارایی مصرف تابش ذرت، برای کل فصل رشد ضریب خاموشی پوشش ذرت را برابر ۰/۶۵ و بازتابندگی پوشش ذرت را صفر فرض کرده‌اند. Westgate et al., (1997) برای برآورد کارایی مصرف تابش در شرایط تأثیر دو فاصله‌گذاری متفاوت بین ردیف‌های کشت، با چشمپوشی از بازتابندگی پوشش ذرت، تنها در ساعت ۱۲:۰۰ تا ۱۴:۰۰ جذب روزانه تابش فعال فوتوسنتزی را اندازه گیری کرده‌اند. Kiniry et al., (1998) نیز در بررسی پاسخ کارایی مصرف تابش ذرت و ذرت خوش‌های (سورگوم) نسبت به تغییرات کمبود فشار بخار آب، بازتابندگی پوشش را صفر و میزان جذب روزانه تابش فعال

وجود دارد: ۱- در یک مقطع زمانی خاص از فصل رشد (مثلاً موقع گلدهی یا رسیدگی محصول) میزان این کمیت به‌واسطه تعریف آن تنها با درج یک عدد، محاسبه می‌شود (Akmal et al., 2014). ۲- با توجه به تعریف کارایی مصرف تابش محصول، شیب خط وایازش (رگرسیون) بین مقادیر زیست‌توده حشك نمونه‌برداری شده از واحد سطح کشت (مثلاً با واحد گرم بر متر مربع)، و تابش فعال فوتوسنتزی تجمعی جذب‌شده توسط محصول به عنوان میانگینی از کارایی مصرف تابش گیاه در فصل رشد تعیین می‌شود (Monteith, 1994; Sinclair and Muchow, 1999). ۳- با توجه به اوقات نمونه‌برداری از زیست‌توده بدون استفاده از خط وایازش، با کاربست مستقیم تعریف کارایی مصرف تابش، جدولی از مقادیر کارایی مصرف تابش در فصل رشد محصول تهیه می‌شود (Hossain et al., 2014). در این پژوهش نیز به این شیوه عمل شده است. به علت زمان بری، دشواری و هزینه زیاد اندازه‌گیری میدانی کارایی مصرف تابش، تحقیقاتی که به‌طور منظم و دقیق کارایی مصرف تابش گونه‌های زراعی در فصل رشد محصول را پایش کند بسیار اندک است. در بیش‌تر پژوهش‌ها از روش دوم برآورد این شاخص، استفاده شده است (Lindquist et al., 2005). این روش برای شبیه‌سازی رشد محصول درستی و دقت زیادی ندارد، زیرا تنها به یک مقدار عددی از کارایی مصرف تابش برای کل فصل رشد محصول بسته می‌کند و تغییرات کارایی مصرف تابش در مراحل رشد، نمو و فنولوژی محصول را نادیده می‌گیرد. با این وجود، محاسبه شیب خط وایازش بین داده‌های تابش فعال فوتوسنتزی تجمعی جذب شده گیاه و زیست‌توده حشك برداشت شده از واحد مساحت سطح، روش رایج برآورد کارایی مصرف تابش محصولات زراعی است که البته در موارد نمونه‌برداری زمانی پراکنده و نامنظم درست‌ترین گرینه است. برای مثال از این روش در پژوهش (Andrade et al., 1993) برای برآورد کارایی مصرف تابش ذرت استفاده شده است. معمولاً وجود سه اشتباه اساسی در برآوردهای میدانی یا نظری شدت تابش فعال فوتوسنتزی جذب شده توسط محصول، منجر به کاهش قطعیت و درستی نتایج برآورد رگرسیونی کارایی مصرف تابش محصول می‌شود. این اشتباها به ترتیب اولویت عبارتند از: ۱- سنجش ناقص شدت تابش فعال فوتوسنتزی جذب شده توسط محصول در طول روز، ۲- استفاده از نتایج این سنجش در برآورد

^۱ Extinction coefficient

کسینوسی^۲ آشکارسازهای نور آرایه خطی این وسایل در درجات بزرگ زاویه سرسوی^۳ نور فروودی است. به همین دلیل با محدود شدن زمان سنجش با این دستگاه نمی‌توان به برآورد کاملاً درستی از مقدار کل نور جذب شده در ساعت روشنایی روز دست یافت (Webb et al., 2008). منظور از اشتباه کسینوسی انحراف نشانه‌های خروجی یک آشکارساز یا حسگر تابش است که تابعی از کسینوس زاویه سرسوی پرتوهای فروودی به آشکارساز یا حسگر تابش می‌باشد. در این پژوهش برای محاسبه هفتگی کل تابش فعال فوتوسنتزی جذب شده از برآورد نظری آن با کاربری مدل چندلایه تابش درون پوشش گیاهی استفاده شد. این مدل که برای برآورد نظری میزان جذب نور و ضریب خاموشی پوشش گیاهی، نتایج سنجش‌های دستگاه‌های سپتومتر نیز به آن وارد می‌شود، مدل اصلی و پایه برآورد نظری نور مرئی جذب شده در پوشش گیاهی است، که معادله اساسی آن برای این منظور عبارت است از:

$$APAR=IPAR_{net}(1-exp(-K(t).LAI(t))) \quad (2)$$

در این معادله APAR شدت تابش فعال فوتوسنتزی جذب شده در پوشش گیاهی بر حسب ژول بر متر مربع در واحد زمان، IPAR_{net} شدت خالص تابش فعال فوتوسنتزی دریافتی حسب ژول بر متر مربع در واحد زمان، K(t) ضریب خاموشی پوشش گیاهی در هر مرحله رشد و LAI(t) شاخص مساحت برگ^۴ پوشش گیاهی در آن مرحله از رشد است و ضریب خاموشی و شاخص مساحت برگ هر دو بدون واحد هستند (Monteith and Unsworth, 2013). با انتگرال گیری از معادله ۲ در مدت طلوع تا غروب آفتاب، مقادیر ابانته روزانه شدت تابش فعال فوتوسنتزی جذب شده در پوشش گیاهی از معادله ۳ محاسبه شد.

$$\text{DailyAPAR}=\text{DailyIPAR}_{net}(1-exp(-\bar{K}(d).LAI(d))) \quad (3)$$

در این معادله Daily APAR شدت روزانه تابش فعال فوتوسنتزی جذب شده در پوشش گیاهی ($J.m^{-2}.day^{-1}$)، Daily APAR_{net} شدت خالص تابش فعال فوتوسنتزی دریافتی در طول روز ($J.m^{-2}.day^{-1}$), $\bar{K}(d)$ میانگین روزانه ضریب خاموشی پوشش گیاهی و LAI(d) شاخص مساحت برگ پوشش گیاهی در روز مورد نظر است.

۲ تصویر برداشتی از یک بوته ذرت در هنگام شبیه‌سازی آفتابگیری روزانه در تاریخ ۲۱ خرداد ۱۳۹۶ و پنجره اجرایی نرم‌افزار Digimizer نشان داده است.



Figure 1- The scanner used for insolation simulation of maize plants

شکل ۱- تصویری از پویشگر مورد استفاده در شبیه‌سازی آفتابگیری بوته‌های ذرت

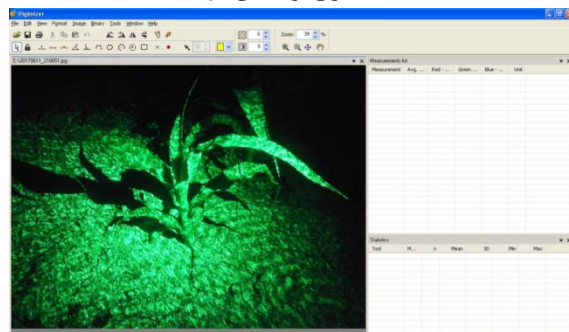


Figure 2- An example of executive system window of Digimizer software and loaded image

شکل ۲- نمونه‌ای از پنجره اجرایی نرم‌افزار Digimizer و تصویر بارگذاری شده در آن

تابش فعال فوتوسنتزی جذب شده

عموماً برآورد میدانی تابش فعال فوتوسنتزی جذب شده در مزرعه توسط دستگاه‌های سپتومتر^۱ یا شبکه‌ای از نورسنج‌های مستقر در ارتفاعات مختلف درون پوشش گیاهی انجام می‌پذیرد (Monteith, 1969; Ross, 1981). هزینه و مشکلات اجرایی این شبکه‌ها، به ویژه پاکیزه نگاه داشتن نورسنج‌های واقع بر سطح خاک زیر بوته‌ها، منجر به استفاده بیشتر از دستگاه‌های قابل حمل سپتومتر در برآورد میدانی نور مرئی جذب شده در پوشش گیاهی مزرعه شده است. دو گونه تجاری رایج این ادوات: ۱- سنجش‌گرهای آرایه چند آشکارساز خطی و ۲- سنجش‌گرهای گران قیمت مجهز به عدسی چشم ماهی می‌باشند (Jones, 2014). ایراد عمده سنجش‌گرهای آرایه چند آشکارساز خطی محدودیت زمانی سنجش درست و بدون ابهام آرایه خطی به ساعت ۱۱:۰۰ تا ۱۳:۰۰ روز است. این محدودیت ناشی از اشتباه

² Cosine error

³ Zenith angle

⁴ LAI: Leaf Area Index

^۱ Ceptometer

چرخه زیستشیمیایی فوتوسنتز است که نسبت به گونه‌های زراعی سه کربنه کارایی فوتوسنتزی بیشتری دارد و لذا انتظار می‌رود که آهنگ تولید زیست‌توده، سرعت رشد و کارایی مصرف تابش آن نیز شیب زیادتری داشته باشد (Hanks and Ritchie, 2001; Yin and Gon van Larr, 2005). بر اساس مقادیر ستون (b) جدول ۳، وقوع دو قله نمودار شکل ۳ با رسیدن به دو بیشینه سرعت رشد زیست‌توده ذرت همزمان شده است. همچنین با توجه به مقادیر جدول ۱، نقطه عطف منحنی زمانی افزایش رشد زیست‌توده ذرت نیز در هفته پنجم فصل رشد واقع شده و همزمان با رسیدن به قله اول نمودار شکل ۳ می‌باشد.

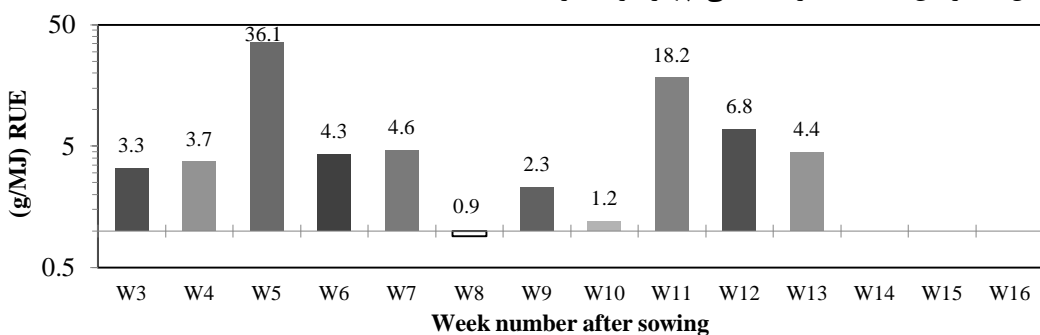


Figure 3- The time graph of maize weekly radiation use efficiency during growing season

شکل ۳- نمودار کارایی مصرف تابش در بازه‌های هفتگی فصل رشد ذرت

Liu et al., (2017) ۳/۶ g/MJ گزارش کرده‌اند. برای دو سال متولی ۲۰۱۳ و ۲۰۱۴ میلادی، به‌طور ثابت مقدار کلی کارایی مصرف تابش ذرت را $3/95$ g/MJ یافته‌اند که تفاوت زیادی با $3/5$ g/MJ ندارد. Soltani and Sinclair (2012) نیز مقدار کلی کارایی مصرف تابش ذرت را $3/5$ g/MJ بیان کرده‌اند.

نتیجه‌گیری

شاخص کارایی مصرف تابش به دلیل جامع‌نگری فوتوسنتز و کلیه فرآیندهای تولید زیست‌توده با معیار جذب فعال و مشمر نور مرئی در پوشش گیاهی، یکی از مهم‌ترین شاخص‌های مطالعه و بررسی بهره‌وری زراعی، سلامت گیاه و عملیات کاشت و داشت محصول است. دستیابی به مقادیر هفتگی کارایی مصرف تابش ذرت در شرایط پتانسیل تولید زراعی علاوه بر کاربرد در شبیه‌سازی رشد ذرت، اقدامی مهم در زمینه مطالعات و پژوهش‌های مرتبط با هواشناسی کشاورزی، زراعت و تولیدات گیاهی، زیست‌سنگی زراعی، آبیاری، بوم‌شناسی زراعی، گیاه‌پزشکی،

می‌شود. بنابراین، با توجه به پیوستگی زمانی فوتوسنتز و تولید زیست‌توده در کل ساعت روشناختی روز، لحاظ کردن میانگین روزانه ضریب خاموشی پوشش گیاهی به جای مقادیر لحظه‌ای آن، به مراتب دقیق‌تر برآورد کارایی مصرف تابش محصول را افزایش می‌دهد.

در شکل ۳ نمودار زمانی کارایی مصرف تابش در بازه‌های هفتگی فصل رشد ذرت ترسیم شده است. دو قله این نمودار در هفتگه‌های پنجم و یازدهم فصل رشد، به ترتیب فولولژیکی در مراحل برگ‌دهی از فاز رشد رویشی و آغاز پر شدن دانه‌ها از فاز رشد زایشی ذرت است. علت اصلی تمایل زیاد شیب‌های افزایشی در مجاورت قله‌های نمودار شکل ۳ نیز این است که ذرت گیاهی چهار کربنه در

از سوی دیگر با توجه به نمودار شکل ۳ مشخص می‌شود که در دوره گذار از فاز رشد رویشی به فاز رشد زایشی، کارایی مصرف تابش ذرت افت چشمگیری یافته و دو کمینه غیر صفر آن در هفتگه‌های هشتم و دهم فصل رشد، تقریباً با مراحل ظهور گل آذین و گرده‌افشانی همزمان هستند. با استفاده از مقادیر نمودار شکل ۳ میانه، انحراف معیار و ضریب تغییرات هفتگی کارایی مصرف تابش به ترتیب برابر با $9/43$ g/MJ، $3/5$ g/MJ و 160 درصد به دست می‌آید. در مدت انجام این پژوهش مرجعی یافت نشد که آمار هفتگی از کارایی مصرف تابش ذرت را ارائه کند، تا بتوان نتایج به دست آمده را با آن مقایسه کرد. با این وجود، با توجه به اطلاعات ارائه شده توسط Boote and Hanks and Ritchie (2001)، Loomis (1991) و Lindquist et al., (2005) مشخص شد که میانه مقادیر هفتگی کارایی مصرف تابش ذرت در نمودار شکل ۳، تفاوت زیادی با مقدار کلی کارایی مصرف تابش ذرت در فصل رشد ندارد. این محققین به ترتیب مقدار کلی کارایی مصرف تابش ذرت را 0.20 ± 0.29 g/MJ و

در این معادله $A(d)$ مساحت برگ‌های یک بوته در روز مورد نظر (m^2) است و نباید واحد متر مربع به واحد دیگری تبدیل گردد.

منابع

- Akmal, M., Ibrahim, M., Asim, M., Afzal, M., Achakzai, A. K. K. 2014. Leaf area profile and light use efficiency study in maize as influenced by changes in the planting geometry and N-Rates. *Pure and Applied Biology*, 3(4):132-143.
- Andrade, F. H., Uhart, S. A., Cirilo, A. 1993. Temperature affects radiation use efficiency in maize. *Field Crops Research*, 32:17-25.
- Boote, K. J., Loomis, R.S. 1991. Modeling Crop Photosynthesis: From Biochemistry to Canopy. CSSA Special publication 19. American Society of Agronomy and Crop Science Society of America. 169p.
- Campbell, G. S., Norman, J. M. 1998. An Introduction to Environmental Biophysics. Springer. 286p.
- Greaves, G. E., Wang, Y. 2017. The effect of water stress on radiation interception, radiation use efficiency and water use efficiency of maize in a tropical climate. *Turkish Journal of Field Crops*, 22(1):114-125.
- Hanks, J., Ritchie, J. T. 2001. Modeling Plant and Soil Systems. American Society of Agronomy, Inc. Crop Science Society of America, Inc. Soil Science Society of America, Inc. 545p.
- Hikosaka, K., Niinemets, U., Anten, N. P. R. 2016. Canopy Photosynthesis: From Basics to Applications. Springer Science + Business Media Dordrecht, 428p.
- Hossain, M. M., Rumi, M. S., Nahar, B. S., Batan, M. A. 2014. Radiation use efficiency in different row orientation of maize (*Zea mays* L.). *Journal of Environtal Science and Natural Resources*, 7(1): 41-46.
- Jones, H. G. 2014. Plants and Microclimate. A Quantitative Approach to Environmental Plant Physiology. Cambridge University Press. 407p.
- Kiniry, J. R., Landivar, J. A., Witt, M., Gerik, T. J., Cavero, J., Wade, L. J. 1998. Radiation-use efficiency response to vapor pressure deficit for maize and sorghum. *Field Crops Research*, 56: 265-270.
- Lindquist, J. L., Arkebauer, T. J., Walters, D. T., Cassman, K. G., Dobermann, A. 2005. Maize radiation use efficiency under optimal growth conditions. *Agronomy Journal*, 97:72-78.
- Liu, T., Song F., Liu, S., Zue, X. 2012. Light interception and radiation use efficiency response to narrow - wide row planting patterns in maize. *Australian Journal of Crop Science*, 6(3): 506-513.
- Liu, X., Rahman, T., Yang, F., Song, C., Yong, T., Liu, J., Zhang, C., Yang, W. 2017. PAR Interception and utilization in different maize and soybean intercropping patterns. *PLOS ONE*. DOI:10.1371/journal.pone, 0169218:1-17.
- Monteith, J. 1969. Light interception and radiative exchange in crop stands. *Agronomy and Horticulture-Faculty Publications*, 185:89-115.
- Monteith, J. L. 1994. Validity of the correlation between intercepted radiation and biomass. *Agricultural and Forest Meteorology*, 68:213-220.
- Monteith, J. L., Unsworth, M. H. 2013. Principles of Environmental Physics. Elsevier Ltd., 401p.
- Pitman, J. I. 2000. Absorption of photosynthetically active radiation, radiation use efficiency and spectral reflectance of bracken [*Pteridium aquilinum* (L.) Kuhn] canopies. *Annals of Botany*, 85 (Supplement B):101-111.
- Ross, J. 1981. The Radiation Regime and Architecture of Plant Stands. Dr W. Junk Publishers. 391pages.
- Russell, G., Marshall, B., Jarvis, P. G. 1990. Plant Canopies: Their Growth, Form and Function. Cambridge University Press, 178p.
- Sinclair, T. R., Muchow, R. C. 1999. Radiation-use efficiency. *Adv. Agronomy*, 65:215-265.
- Soltani, A., Sinclair, T. R. 2012. Modeling Physiology of Crop Development, Growth and Yield. CAB International. 322p.
- Verhoef, W. 1984. Light scattering by leaf layers with application to canopy reflectance modeling: The SAIL model. *Remote Sensing of Environment*, 16:125-141.
- Webb, N., Nichol, C., Wood, J., Potter, E. (2008). User Manual for the SunScan Canopy Analysis System Type SS1. Delta-T Devices Ltd.. 83p.
- Westgate, M. E., Forcella, F., Reicosky, D. C., Somsen, J. 1997. Rapid canopy closure for maize production in the northern US corn belt: Radiation-use efficiency and grain yield. *Field Crops Research*, 49: 249-258.
- Yin, X., Gon van Larr, H. H. 2005. Crop Systems Dynamics. An Ecophysiological Simulation Model for Genotype – by – Environment Interactions. Wageningen Academic Publishers. 155p.
- Zhu, X. G., Song, Q., Ort, D. R. 2012. Elements of a dynamic systems model of canopy photosynthesis. *Current Opinion in Plant Biology*, 15: 237-244.

تمام تراکم‌های کشت است). بنابراین، میانگین روزانه ضریب خاموشی پوشش گیاهی ($\bar{k}(d)$) عبارت است از:

$$\bar{k}(d) = \frac{1}{2} \bar{k}_1(d) = \frac{-1}{2A(d)} \ln(1-A(d)) \quad (15-d)$$

Estimation of weekly radiation-use efficiency of maize under potential production conditions

H. R. Afsharnaderi¹, N. Ghahreman^{2*}, P. Irannejad³

Received: 30/04/2019

Accepted: 07/08/2019

Abstract

The aim of this study is obtaining continuous weekly values of maize RUE by novel in-situ measurements of radiation. A semi-maturing cultivar of maize was cultivated in University of Tehran research farm in Karaj. Dry biomass and leaf area index were measured during 15 consecutive weeks of growing season. Then, based on in-situ complete pyrheliometry, by using insulation simulation and image processing, daily average of maize canopy reflectivity, extinction coefficient and the absorbed visible light of the canopy were estimated using a multi-layer model. During growing season infield continuous measurement of full spectrum irradiation, was measured continuously by TSR for all daylight hours. The diurnal insolation was simulated for that plant by an angular scanner (illuminator) during night time between 21:00 to 21:30 hrs. By applying an image processing technique, the visible band reflectivity of maize cover was estimated for the first seven weeks of study period. The measurements were continued till full closure of canopy and 12 different weekly values of RUE were calculated using the field measured data. The proposed approach allows generating continuous graph of RUE values. The research results indicate that even in the potential production conditions, using a constant value of radiation use efficiency for entire growing season of maize is not possible. During the growing season, the range of maize radiation-use efficiency reached 36.1 g/MJ, but the weekly values median of this quantity was equal to 3.5 g/MJ, which its occurrence probability in half of the growing season is 100%.

Keywords: Biomass, Extinction coefficient, Growing season, Plant canopy, photosynthetically active radiation



¹ Ph.D. Student of Agrometeorology, University of Tehran, Karaj, Iran

² Associate Professor, Department of Irrigation and Reclamation Engineering, University of Tehran, Karaj, Iran

(*Corresponding author email address: nghahreman@ut.ac.ir)

DOI: 10.22125/agmj.2019.187260.1064

³ Associate Professor, Geophysics Institute, University of Tehran, Iran